

## 2.4 交流電力

### 2.4.1 平均電力

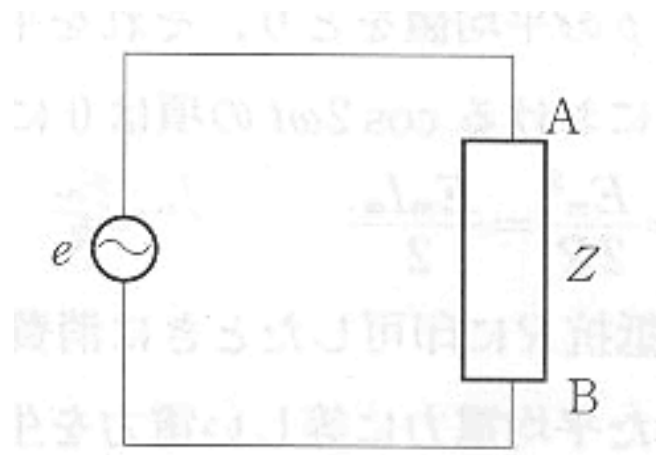


図 2.19 電位差  $e$  と仕事

電荷  $\delta q$  を点Aから点Bへ運ぶために  
電流がする仕事  $w$

$$w = e\delta q$$

$e$ : ボルト [volt, V]

$\delta q$ : クーロン [coulomb, C]

$w$ : ジュール [joule, J]

仕事率（電力）  $p$  は

$$p = \frac{dw}{dt} = e \frac{dq}{dt} = e \cdot i$$

$p$  : ワット [watt, W]

(1) 抵抗

$$Z = R$$

$$e = E_m \cos \omega t \quad \text{とする}$$

$$i = \frac{e}{R} = \frac{E_m \cos \omega t}{R} = I_m \cos \omega t$$

$$p = e \cdot i = \frac{E_m^2}{R} \cos^2 \omega t$$

$$= \frac{E_m^2}{2R} (1 + \cos 2\omega t)$$

$p$  : 瞬時電力

$$\omega = 2\pi f = 2\pi \cdot \frac{1}{T}$$

$$\begin{aligned} P &= \frac{1}{T} \int_0^T p dt \\ &= \frac{1}{T} \int_0^T \frac{E_m^2}{2R} (1 + \cos 2\omega t) dt \\ &= \frac{E_m^2}{2R} = \frac{E_m \cdot E_m}{2 \cdot R} \\ &= \frac{E_m I_m}{2} \end{aligned}$$

$P$  : 平均電力

$E_e$  [V] の直流電圧を抵抗  $R$  に印可したときに消費される電力は

$$E_e \cdot \frac{E_e}{R} = \frac{E_e^2}{R}$$

$$\frac{E_m^2}{2R} = \frac{E_e^2}{R}$$

$$E_e = \frac{E_m}{\sqrt{2}} \quad (\text{実効値})$$

同様に

$$I_e = \frac{I_m}{\sqrt{2}} \quad (\text{実効値})$$

(2) インダクタ (コイル)

$$e = L \frac{di}{dt}$$

$$e = E_m \cos \omega t \text{ のとき}$$

$$i = \frac{E_m \sin \omega t}{\omega L}$$

$$p = e \cdot i = \frac{E_m^2 \sin \omega t \cos \omega t}{\omega L}$$

$$= \frac{E_m^2}{2\omega L} \sin 2\omega t$$

$$P = \frac{1}{T} \int_0^T p dt = 0$$

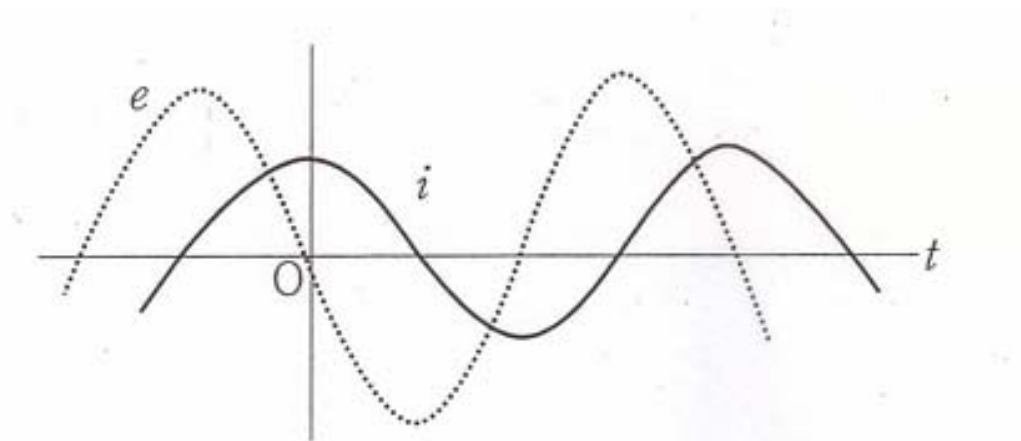


図 2.4 インダクタにおける電圧と電流の関係

電圧と電流が同符号の区間と異符号の区間が等間隔で現れる

同符号の時：

電源から負荷にエネルギーの供給  
インダクタに磁気エネルギーとして蓄積

異符号の時：

負荷から電源にエネルギーの供給  
蓄積された磁気エネルギーが再び電源に戻る

エネルギーは電源と負荷の間を往復し, 平均すれば消費される電力は0になる.

(3) キャパシタ (コンデンサ)

$$i = C \frac{de}{dt}$$

$$e = E_m \cos \omega t \text{ とすると}$$

$$i = -\omega C E_m \sin \omega t$$

$$p = ei = -\omega C E_m^2 \sin \omega t \cos \omega t$$

$$= -\frac{\omega C E_m}{2} \sin 2\omega t$$

$$P = \frac{1}{T} \int_0^T p dt = 0$$

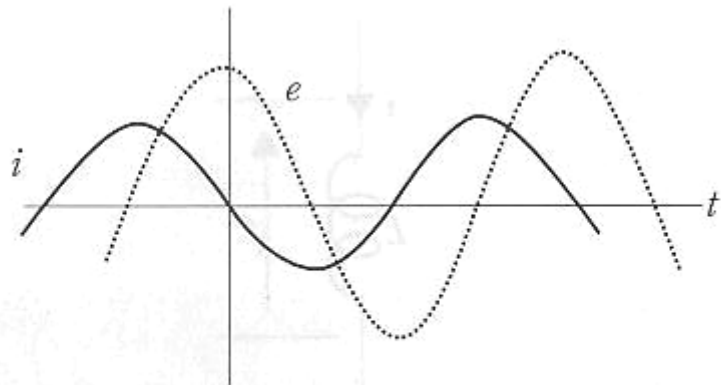


図 2.6 キャパシタにおける電圧と電流の関係

一般の負荷  $Z$

$$Z = |Z| e^{j\theta}$$

$$\dot{I} = \frac{\dot{E}}{Z} = \frac{\dot{E}}{|Z| e^{j\theta}} = \frac{\dot{E}}{|Z|} e^{-j\theta}$$

$$e = E_m \cos \omega t$$

$$\dot{E} = E_m e^{j\omega t}$$



$$\begin{aligned}
 \dot{I} &= \frac{\dot{E}}{Z} = \frac{\dot{E}}{|Z|e^{j\theta}} = \frac{\dot{E}}{|Z|}e^{-j\theta} \\
 &= \frac{E_m e^{j\omega t}}{|Z|}e^{-j\theta} = \frac{E_m}{|Z|}e^{j(\omega t - \theta)}
 \end{aligned}$$

$$i = \operatorname{Re} \dot{I} = I_m \cos(\omega t - \theta) ,$$

$$I_m = E_m / |Z|$$

$$\begin{aligned}
 p = ei &= E_m I_m \cos \omega t \cos (\omega t - \theta) \\
 &= \frac{1}{2} E_m I_m \{ \cos (2\omega t - \theta) + \cos \theta \}
 \end{aligned}$$

三角関数の加法定理

$$\begin{aligned}
 \cos \alpha \cos \beta \\
 &= \frac{1}{2} \{ \cos (\alpha + \beta) + \cos (\alpha - \beta) \}
 \end{aligned}$$

$$\begin{aligned}
P &= \frac{1}{T} \int_0^T p dt \\
&= \frac{1}{T} \int_0^T \frac{1}{2} E_m I_m \{ \cos(2\omega t - \theta) + \cos \theta \} dt \\
&= \frac{1}{T} \int_0^T \frac{1}{2} E_m I_m \cos \theta dt \\
&= \frac{1}{2} E_m I_m \cos \theta
\end{aligned}$$

$\frac{1}{2} E_m I_m$  : 皮相電力    ボルトアンペア[V A]

$\cos \theta$  : 力率

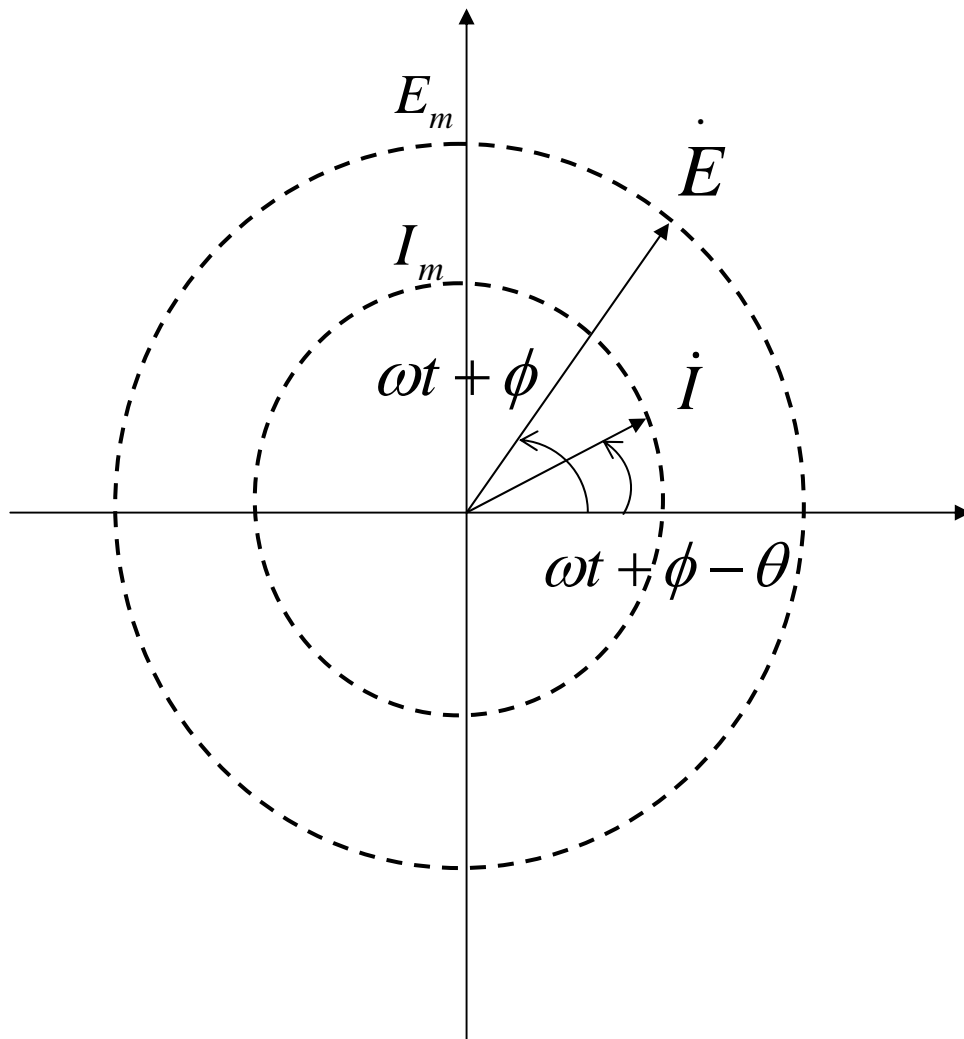
インダクタやキャパシタは  $\theta = \pm \pi/2$

$\cos \theta = 0$

## 2.4.2 複素電圧・電流法による 電力の取扱い

$$\dot{E} = E_m e^{j(\omega t + \phi)}$$

$$\dot{I} = I_m e^{j(\omega t + \phi - \theta)}$$



$\dot{I}$  は  $\dot{E}$  より位相が  $\theta$  遅れている

$$\begin{aligned}\overline{\dot{I}} &= I_m e^{-j(\omega t + \phi - \theta)} \\ \dot{P} &= \frac{\dot{E} \overline{\dot{I}}}{2} = \frac{E_m e^{j(\omega t + \phi)} \square I_m e^{-j(\omega t + \phi - \theta)}}{2} \\ &= \frac{1}{2} E_m I_m e^{j\theta} \\ &= \frac{1}{2} E_m I_m \cos \theta + j \frac{1}{2} E_m I_m \sin \theta\end{aligned}$$

第 1 項が平均電力を与える。

$$\begin{aligned}
\dot{P}' &= \frac{\overline{\dot{E} \dot{I}}}{2} \\
&= \frac{E_m e^{-j(\omega t + \phi)} \cdot I_m e^{j(\omega t + \phi - \theta)}}{2} \\
&= \frac{1}{2} E_m I_m e^{-j\theta} \\
&= \frac{1}{2} E_m I_m \cos \theta - j \frac{1}{2} E_m I_m \sin \theta
\end{aligned}$$

第 1 項が平均電力を与える.

いずれにしても第 1 項が平均電力を与える.

$$\dot{P} = P_r + jP_i$$

$\dot{P}$ :複素電力    ボルトアンペア[VA]

$P_r$ :実効電力    ワット[W]

$P_i$ :無効電力    バール[var]

### 2.4.3 整合回路

信号源から最大のエネルギーを  
取り出す回路

一般の電圧源内部にインピーダンスを持  
っている

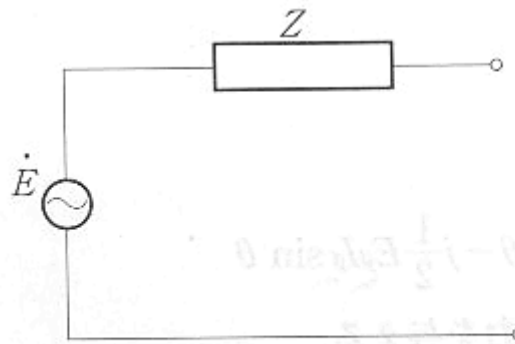


図 2.20 電圧源

内部インピーダンス  $Z=R+jX$  とする



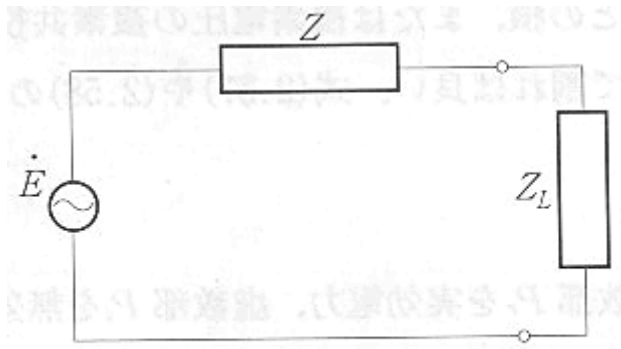


図 2.21 負荷をもつ回路

負荷を  $Z_L = R_L + jX_L$  とすると

$$\dot{I} = \frac{\dot{E}}{Z + Z_L}$$

$$\dot{V} = \frac{Z_L}{Z + Z_L} \dot{E}$$

$$\begin{aligned}
P &= \frac{1}{2} \dot{V} \bar{I} \\
&= \frac{1}{2} \cdot \frac{Z_L}{Z + Z_L} \dot{E} \cdot \frac{\bar{\dot{E}}}{\bar{Z} + \bar{Z}_L} \\
&= \frac{|\dot{E}|^2 Z_L}{2 |Z + Z_L|^2} \\
&= \frac{1}{2} \cdot \frac{R_L + jX_L}{(R + R_L)^2 + (X + X_L)^2} |\dot{E}|^2 \\
P_r &= \frac{1}{2} \cdot \frac{R_L |\dot{E}|^2}{(R + R_L)^2 + (X + X_L)^2}
\end{aligned}$$

$$-\infty < X_L < +\infty$$



$X_L = -X$  で最大値

$$P_r = \frac{1}{2} \cdot \frac{R_L |\dot{E}|^2}{(R + R_L)^2}$$

$$0 \leq R_L < +\infty$$

$$\begin{aligned} \frac{dP_r}{dR_L} &= \frac{|\dot{E}|^2}{2(R + R_L)^4} \left\{ (R + R_L)^2 - 2R_L(R + R_L) \right\} \\ &= \frac{|\dot{E}|^2 (R - R_L)}{2(R + R_L)^3} \end{aligned}$$

表 2.1  $P_r$  の変化

$R_L$	.....	$R$	.....
$\frac{dP_r}{dR_L}$	+	0	-
$P_r$		max	

$R_L = R$  で  $P_r$  が最大

$$P_{r \max} = \frac{|\dot{E}|^2}{8R}$$

$Z_L = R - jX$  で  $P_r$  は最大値を取る

即ち

$Z_L = \bar{Z}$  (内部インピーダンスの複素共役)  
の時に最大電力が得られる.

負荷が電源に整合している.

## 2.5 共振回路

### 2.5.1 直列共振回路

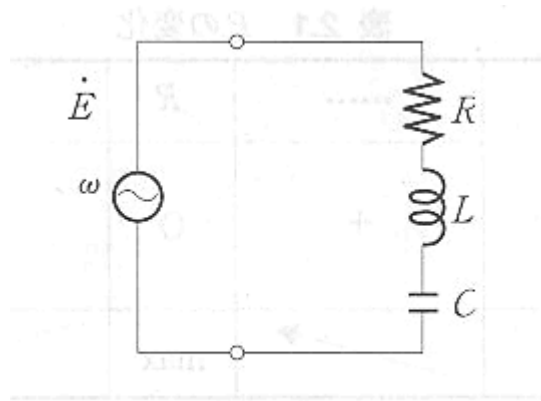


图 2.22

$$\begin{aligned} Z &= R + j\omega L + \frac{1}{j\omega C} \\ &= R + j\left(\omega L - \frac{1}{\omega C}\right) \\ \dot{I} &= \frac{\dot{E}}{R + j\left(\omega L - \frac{1}{\omega C}\right)} \end{aligned}$$

インピーダンス  $Z$  は

$$\omega L = \frac{1}{\omega C}$$

で最小となる

$$\omega = \frac{1}{\sqrt{LC}} \text{ あるいは } f = \frac{1}{2\pi\sqrt{LC}}$$

$$(\omega = 2\pi f)$$

このとき  $i$  の振幅が最大(直列共振)

共振角周波数を  $\omega_r$

$$\omega_r = \frac{1}{\sqrt{LC}}$$

$$\begin{aligned} \dot{I} &= \frac{\dot{E}}{R + j\omega_r L \left( \frac{\omega}{\omega_r} - \frac{1}{\omega\omega_r LC} \right)} \\ &= \frac{\dot{E}}{R + j\omega_r L \left( \frac{\omega}{\omega_r} - \frac{1}{\omega\sqrt{LC}} \right)} \\ &= \frac{\dot{E}}{R + j\omega_r L \left( \frac{\omega}{\omega_r} - \frac{\omega_r}{\omega} \right)} \\ &= \frac{\dot{E}}{R \left\{ 1 + j \frac{\omega_r L}{R} \left( \frac{\omega}{\omega_r} - \frac{\omega_r}{\omega} \right) \right\}} \end{aligned}$$

ここで

$$Q = \frac{\omega_r L}{R} \left( = \frac{1}{\omega_r C R} = \frac{1}{R} \sqrt{\frac{L}{C}} \right)$$

$Q$ : 直列共振回路の $Q$ 値 (quality factor)

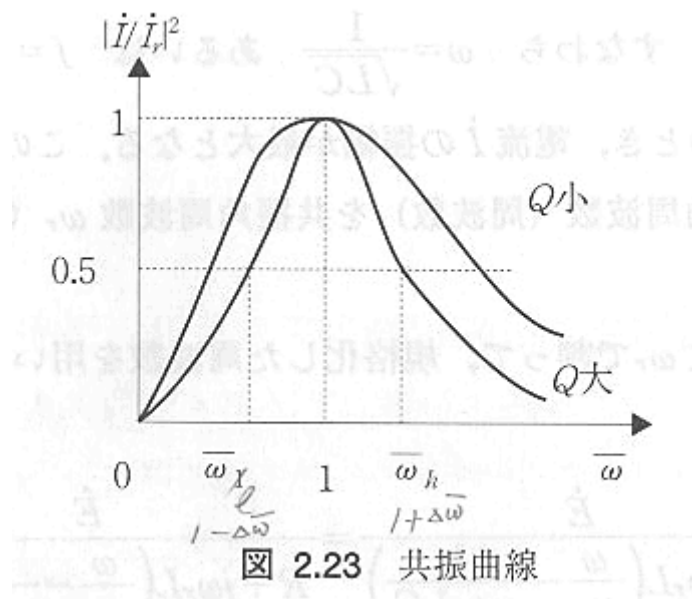
$$\bar{\omega} = \frac{\omega}{\omega_r}, \quad \dot{I}_r = \frac{\dot{E}}{R}$$

とおくと

$$\frac{\dot{I}}{\dot{I}_r} = \frac{1}{1 + jQ \left( \bar{\omega} - \frac{1}{\bar{\omega}} \right)}$$

$$\left| \frac{\dot{I}}{\dot{I}_r} \right|^2 = \frac{1}{1 + Q^2 \left( \bar{\omega} - \frac{1}{\bar{\omega}} \right)^2}$$





ここが宿題 最悪このまま写す

$$\left| \frac{\dot{I}}{\dot{I}_r} \right|^2 = \frac{1}{2} \text{ の 時 の}$$

$\bar{\omega}_h - \bar{\omega}_l$  を 半 値 幅

$$\bar{\omega}_h - \bar{\omega}_l = \frac{1}{Q}$$

$Q$  : 共振の鋭さの指標

$$\left[ \bar{\omega}_h - \bar{\omega}_l = \frac{1}{Q} \text{の証明} \right]$$

$$\left| \frac{\dot{I}}{\dot{I}_r} \right|^2 = \frac{1}{1 + Q^2 \left( \bar{\omega} - \frac{1}{\bar{\omega}} \right)^2} = \frac{1}{2}$$

$$Q^2 \left( \bar{\omega} - \frac{1}{\bar{\omega}} \right)^2 = 1$$

$$\left( \bar{\omega} - \frac{1}{\bar{\omega}} \right) = \pm \frac{1}{Q}$$

$$x - \frac{1}{x} = \pm a \quad a = \frac{1}{Q}$$

(1)

$$x - \frac{1}{x} = a, \quad x^2 - 1 = ax, \quad x^2 - ax - 1 = 0$$

$$x = \frac{a \pm \sqrt{a^2 + 4}}{2}, \quad x_h = \frac{a + \sqrt{a^2 + 4}}{2}$$

(2)

$$x - \frac{1}{x} = -a, \quad x^2 - 1 = -ax, \quad x^2 + ax - 1 = 0$$

$$x = \frac{-a \pm \sqrt{a^2 + 4}}{2}, \quad x_l = \frac{-a + \sqrt{a^2 + 4}}{2}$$

$$\begin{aligned}
& x_h - x_l \\
&= \frac{a + \sqrt{a^2 + 4}}{2} - \frac{-a + \sqrt{a^2 + 4}}{2} \\
&= a \\
&= \frac{1}{Q}
\end{aligned}$$

$$\therefore \bar{\omega}_h - \bar{\omega}_l = \frac{1}{Q} \quad [QED]$$

$$\begin{aligned}
\dot{V}_L &= j\omega_r L \cdot \dot{I}_r \\
&= j \frac{\omega_r L}{R} \dot{E} \\
&= jQ\dot{E} \\
\dot{V}_c &= \frac{\dot{I}_r}{j\omega_r C} \\
&= \frac{\dot{E}/R}{j\omega_r C} \\
&= \frac{\dot{E}}{j\omega_r RC} = -jQ\dot{E}
\end{aligned}$$

共振時には

$L$  と  $C$  には  $\dot{E}$  の  $Q$  倍の電圧がかかる。

## 2.5.2 並列共振回路

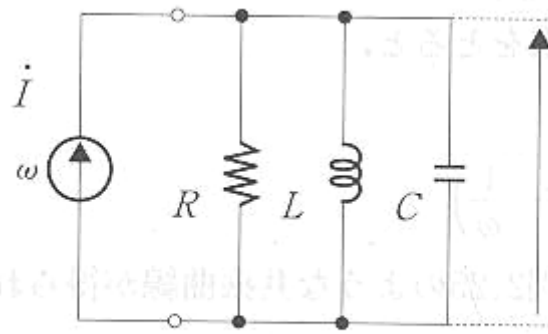


図 2.24

アドミタンス  $Y$  は

$$\begin{aligned} Y &= \frac{1}{R} + \frac{1}{j\omega L} + j\omega C \\ &= G + j\left(\omega C - \frac{1}{\omega L}\right) \end{aligned}$$

$$\dot{I} = Y\dot{V}$$

$$\dot{V} = \frac{\dot{I}}{G + j\left(\omega C - \frac{1}{\omega L}\right)}$$

$Y$  が最小となるのは

$$\omega C = \frac{1}{\omega L}, \quad \omega = \frac{1}{\sqrt{LC}}, \quad f = \frac{1}{2\pi\sqrt{LC}}$$

この時  $\dot{V}$  の振幅が最大となる（並列共振）

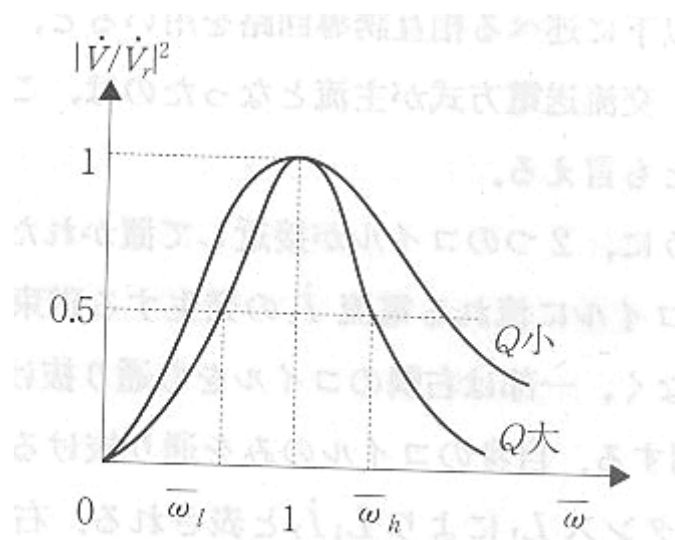


図 2.25 共振曲線

$$\dot{I}_L = -jQ\dot{I}$$

$$\dot{I}_C = jQ\dot{I}$$

共振時には  $L$  と  $C$  に  $\dot{I}$  の  $Q$  倍の電流が流れる

## 2.6 相互誘導回路

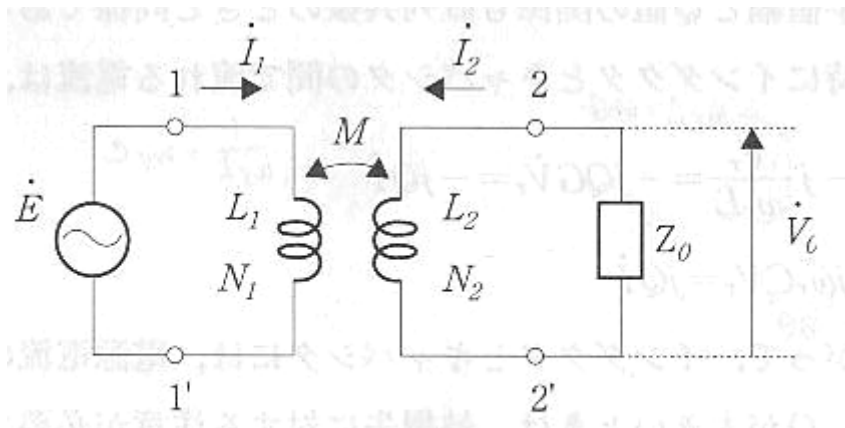


図 2.26

$L_1, L_2$  : 自己インダクタンス

$M$  : 相互インダクタンス

$$\dot{E} - j\omega L_1 \dot{I}_1 - j\omega M \dot{I}_2 = 0$$

$$\dot{V}_0 - j\omega L_2 \dot{I}_2 - j\omega M \dot{I}_1 = 0$$

$$\dot{E} = j\omega (L_1 - M) \dot{I}_1 + j\omega M (\dot{I}_1 + \dot{I}_2)$$

$$\dot{V}_0 = j\omega (L_2 - M) \dot{I}_2 + j\omega M (\dot{I}_1 + \dot{I}_2)$$



$$\dot{E} = j\omega(L_1 - M)\dot{I}_1 + j\omega M(\dot{I}_1 + \dot{I}_2)$$

$$\dot{V}_0 = j\omega(L_2 - M)\dot{I}_2 + j\omega M(\dot{I}_1 + \dot{I}_2)$$

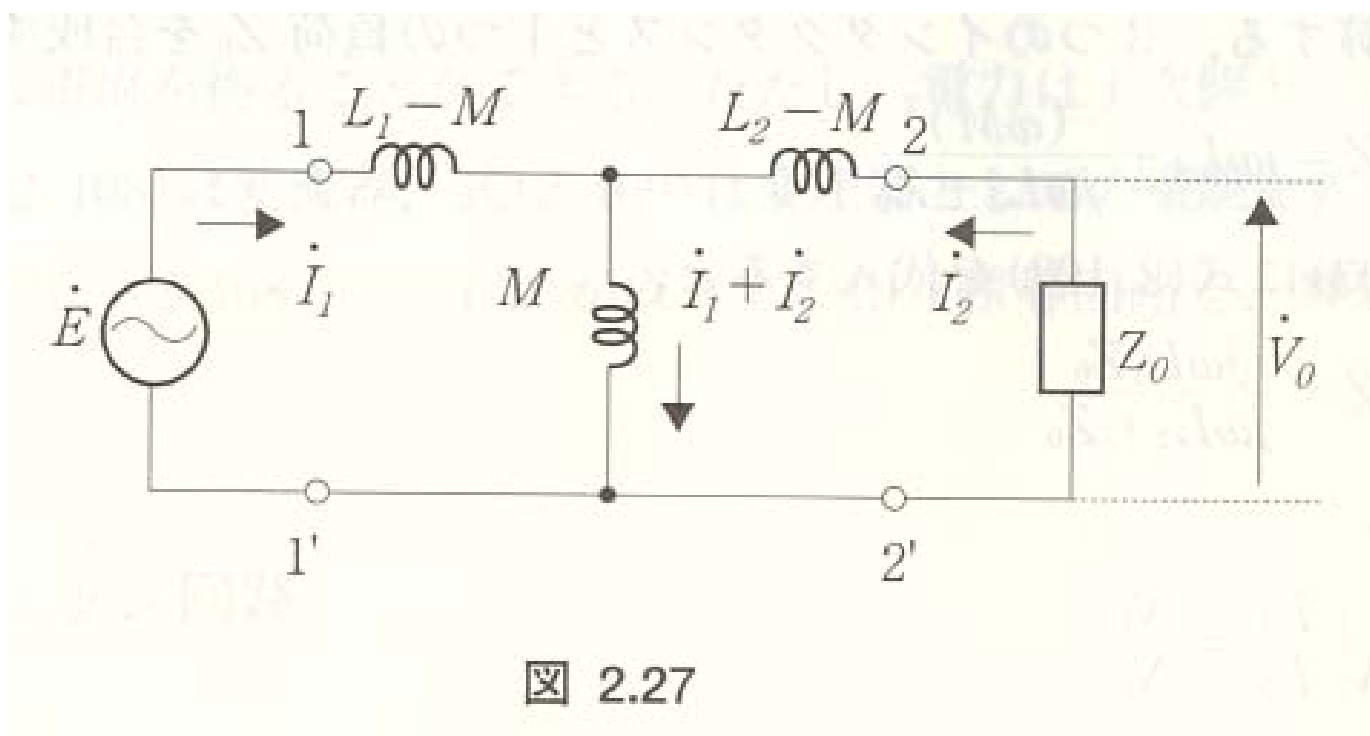


图 2.27

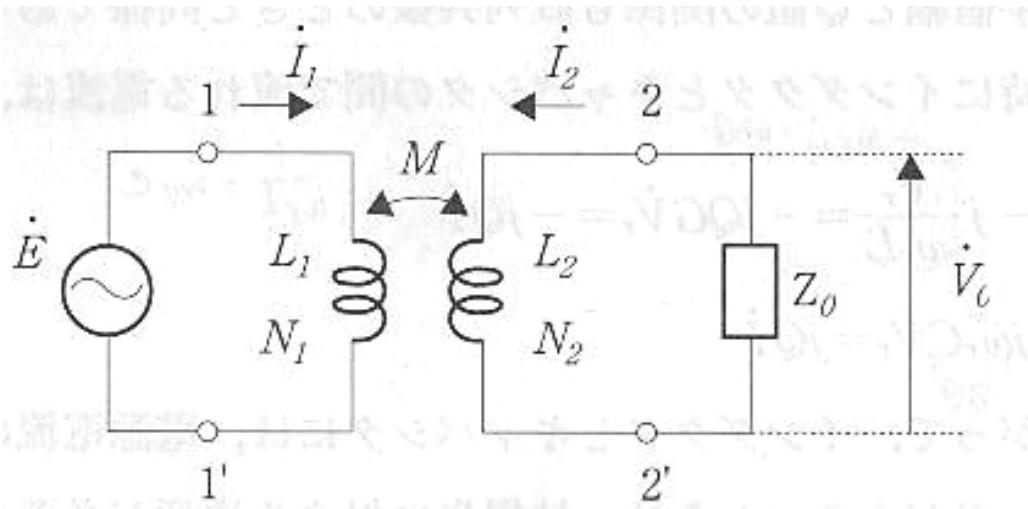


図 2.26

理想変成器では

$$\dot{I}_2 = -\frac{N_1}{N_2} \cdot \dot{I}_1$$

$$\dot{V}_0 = \frac{N_2}{N_1} \cdot \dot{E}$$

$N_1, N_2$ : コイルの巻数

## 2.7 ブリッジ回路

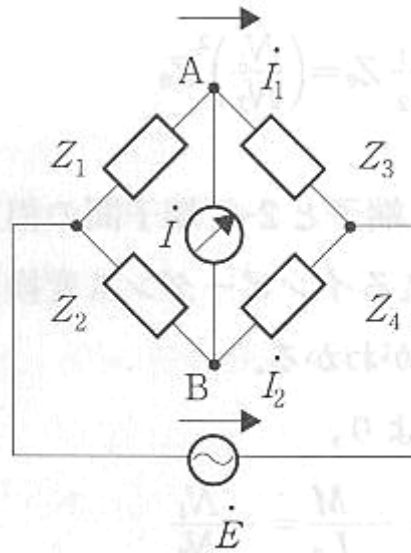


図 2.28

$\dot{I} = 0$  のとき

$$\dot{I}_1 = \frac{\dot{E}}{Z_1 + Z_3}, \quad \dot{I}_2 = \frac{\dot{E}}{Z_2 + Z_4}$$

点 A と点 B の電位

$$\dot{V}_A = \dot{I}_1 Z_3 = \frac{Z_3}{Z_1 + Z_2} \dot{E}$$

$$\dot{V}_B = \dot{I}_2 Z_4 = \frac{Z_4}{Z_2 + Z_4} \dot{E}$$

$$\dot{V}_A = \dot{V}_B \text{ より}$$

$$\frac{Z_3}{Z_1 + Z_3} = \frac{Z_4}{Z_2 + Z_4}$$

$$Z_2 Z_3 + Z_3 Z_4 = Z_1 Z_4 + Z_3 Z_4$$

$$Z_1 Z_4 = Z_2 Z_3$$

$$Z_3 = \frac{Z_1 Z_4}{Z_2} \text{ (未知インピーダンス)}$$

ホイートストンブリッジ

(Wheatstone bridge)

## 2.8 フィルタ

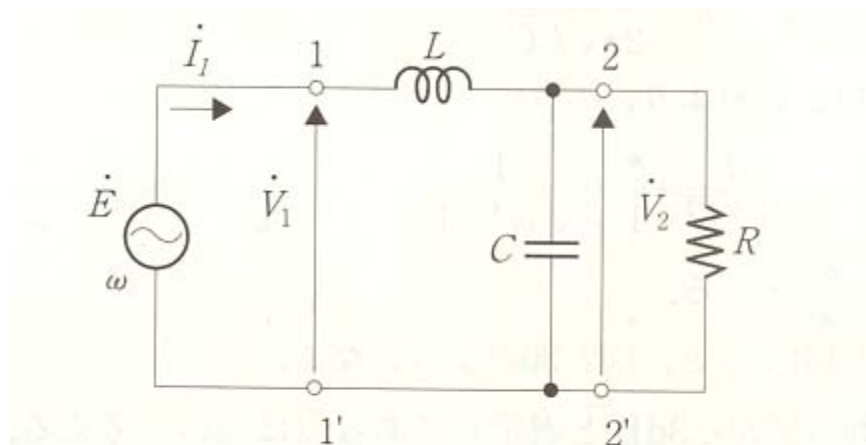


図 2.29 ローパスフィルタ（低域通過フィルタ）

端子1-1'から右を見たときの  
インピーダンス  $Z$

$$\begin{aligned}
 Z &= j\omega L + \frac{1}{\frac{1}{R} + j\omega C} \\
 &= j\omega L + \frac{R}{1 + j\omega CR} \\
 &= \frac{R(1 - \omega^2 CL) + j\omega L}{1 + j\omega CR}
 \end{aligned}$$

$$\begin{aligned}
\dot{V}_2 &= \dot{V}_1 - j\omega L \dot{I}_1 \\
&= \dot{V}_1 - j\omega L \frac{\dot{V}_1}{Z} \\
&= \dot{V}_1 \left\{ 1 - \frac{j\omega L (1 + j\omega CR)}{R (1 - \omega^2 CL) + j\omega L} \right\}
\end{aligned}$$

$$\frac{\dot{V}_2}{\dot{V}_1} = \frac{R}{R (1 - \omega^2 CL) + j\omega L}$$

$$\left| \frac{\dot{V}_2}{\dot{V}_1} \right|^2 = \frac{R^2}{\omega^4 R^2 C^2 L^2 + \omega^2 (L^2 - 2R^2 CL) + R^2}$$

分母の  $\omega$  の 2 次の項が 0 となるようにする

$$L^2 - 2R^2CL = 0$$

$$L = 2R^2C$$

$$\frac{L}{C} = 2R^2 = \frac{\sqrt{2}R}{\omega_c} \cdot \sqrt{2}R\omega_c$$

$$L = \frac{\sqrt{2}R}{\omega_c}, \quad C = \frac{1}{\sqrt{2}R\omega_c}$$

$$LC = \frac{1}{\omega_c^2}, \quad \omega_c = \frac{1}{\sqrt{LC}}, \quad f_c = \frac{1}{2\pi\sqrt{LC}}$$

$$\begin{aligned} \left| \frac{\dot{V}_2}{\dot{V}_1} \right| &= \sqrt{\frac{R^2}{\omega^4 R^2 C^2 L^2 + R^2}} \\ &= \frac{1}{\sqrt{\omega^4 C^2 L^2 + 1}} \end{aligned}$$

$$\bar{\omega} = \frac{\omega}{\omega_c} \text{ と す る と}$$

$$\left| \frac{\dot{V}_2}{\dot{V}_1} \right| = \frac{1}{\sqrt{\bar{\omega}^4 + 1}}$$

$$G = 10 \log_{10} \left| \frac{\dot{V}_2}{\dot{V}_1} \right|^2 = 20 \log_{10} \left| \frac{\dot{V}_2}{\dot{V}_1} \right|$$

$$\left| \frac{\dot{V}_2}{\dot{V}_1} \right|^2 = \frac{1}{2} \text{ の と き}$$

$$\left| \frac{\dot{V}_2}{\dot{V}_1} \right| = \frac{1}{\sqrt{2}} \cong 0.707 \quad (\bar{\omega} = 1)$$

$$G \cong -3(\text{dB})$$



$\omega = \omega_c$  の時, 出力のエネルギーは半分になる

$\omega_c$ : 切断周波数

( $\omega_c$  以上の周波数は通過しない)

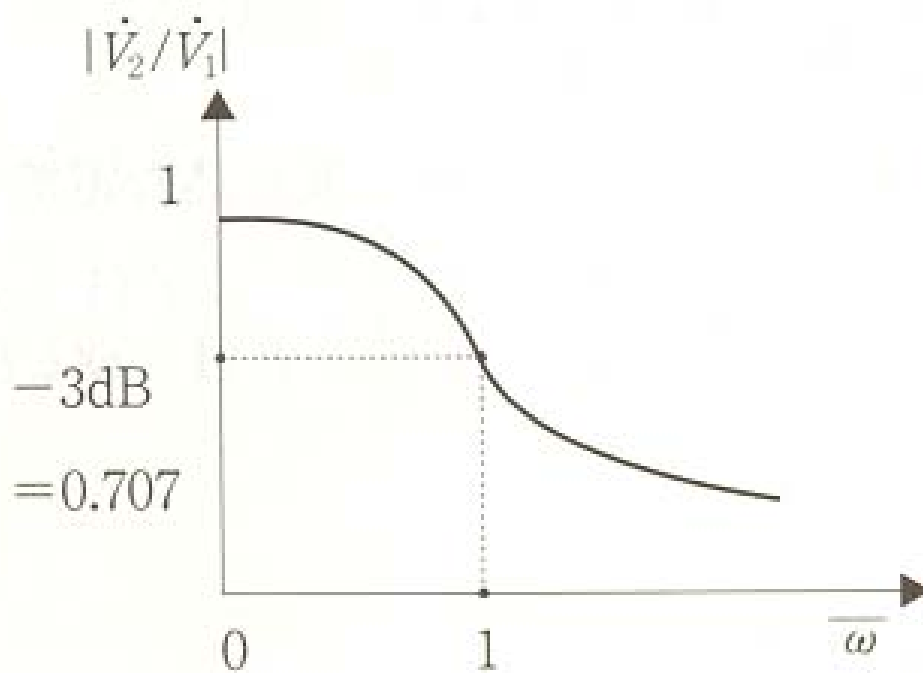


図 2.30 ローパスフィルタ (低域通過フィルタ)

ローパスフィルタ (低域通過フィルタ)  
周波数の低い成分を通過させる

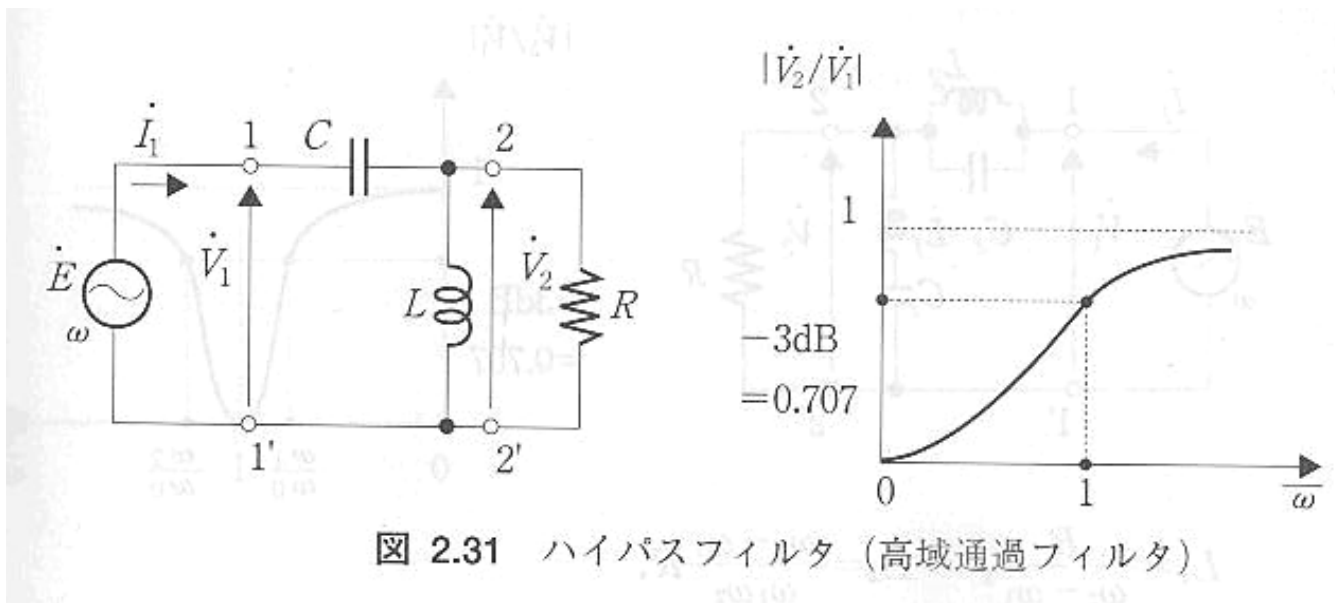
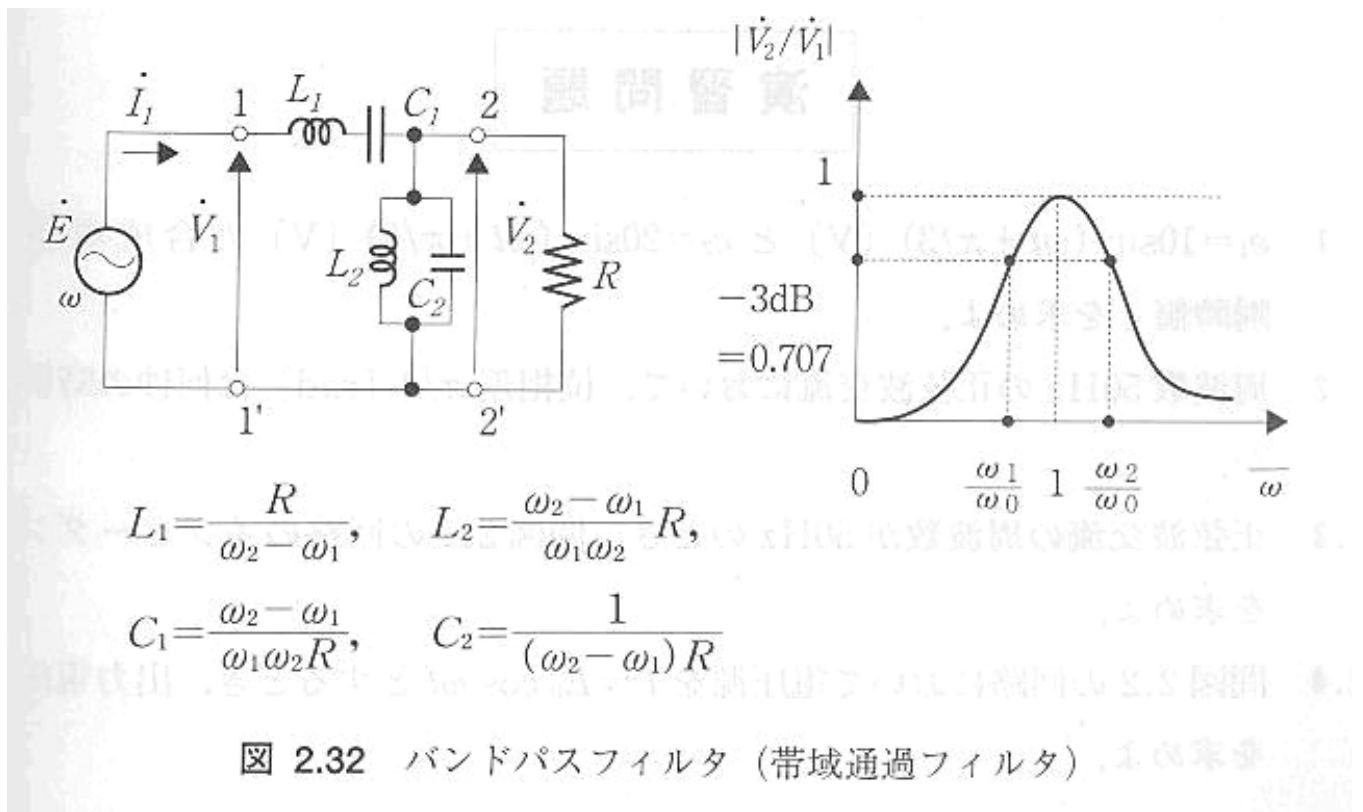
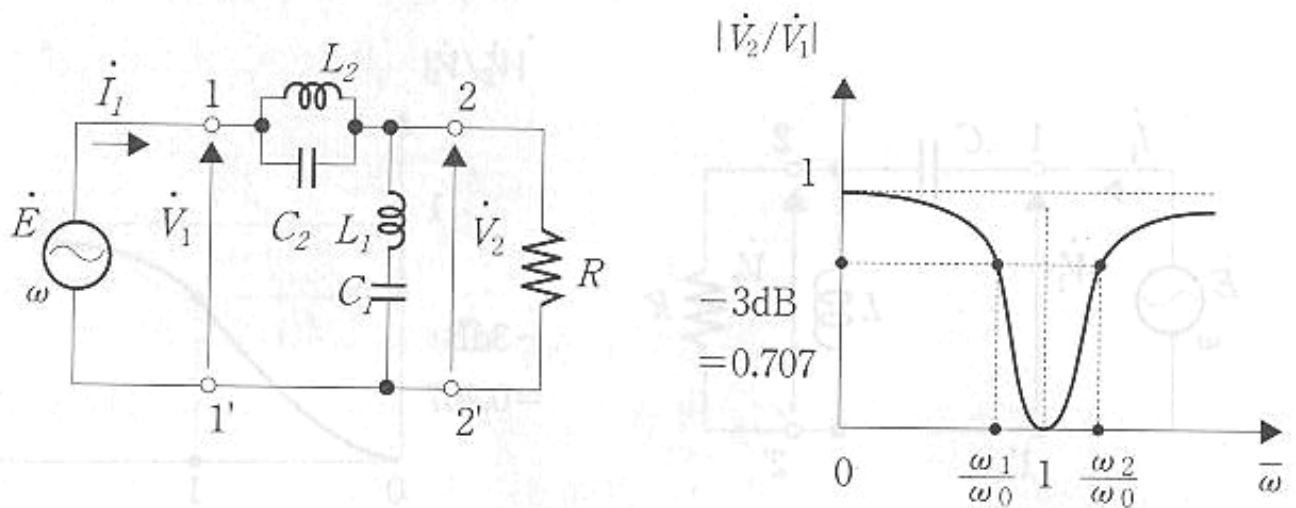


図 2.31 ハイパスフィルタ（高域通過フィルタ）

ハイパスフィルタ（高域通過フィルタ）  
周波数の高い成分を通過させる



バンドパスフィルタ (帯域通過フィルタ)  
ある帯域の周波数範囲のみを通過させる



$$L_1 = \frac{R}{\omega_2 - \omega_1}, \quad L_2 = \frac{\omega_2 - \omega_1}{\omega_1 \omega_2} R,$$

$$C_1 = \frac{\omega_2 - \omega_1}{\omega_1 \omega_2 R}, \quad C_2 = \frac{1}{(\omega_2 - \omega_1) R}$$

図 2.33 バンドエリミネイトフィルタ (帯域阻止フィルタ)

バンドエリミネイトフィルタ (帯域阻止  
フィルタ)

ある帯域の周波数範囲を阻止する